

电子工业
生产技术手册

半导体与集成电路卷

半导体材料

6

内 容 简 介

本书是《电子工业生产技术手册》第6分册，即半导体与集成电路卷的第1篇。书中主要介绍各种半导体材料制备工艺，同时包括晶片加工工艺、材料特征参数的测试和分析、材料的物理和化学性质等。本书特点是工艺性强，富集和精选了工艺中常用的数据、图表和基本公式。

本书是从事半导体材料制备和研究的工程技术人员、管理人员和工人的常用工具书，也可供高等院校有关专业的师生参考。

电子工业生产技术手册

(6)

半导体与集成电路卷

《电子工业生产技术手册》编委会 编

国防工业出版社出版 发行

新华书店经营

北京市正源排版厂排版 国防工业出版社印刷厂印刷

787×1092 1/16 单面44% 拆页2 1031千字

1989年3月第一版 1989年3月第一次印刷 印数：0,001—5,000册

ISBN7-118-00214-3/TN·39 定价：21.20元

科技新书目182-025

科学出版社



出 版 说 明

《电子工业生产技术手册》(以下简称《手册》)是由电子工业部和中国电子学会联合组织编写的一部大型综合性工具书。全书共约一千五百万字，分成五卷：

1. 电子元件卷(1~3分册)；
2. 电真空器件卷(4~5分册)；
3. 半导体与集成电路卷(6~8分册)；
4. 通用工艺卷(9~14分册)；
5. 生产质量技术保证卷(15~17分册)。

《手册》主要是供具有中专以上水平的电子工业工程技术人员、高级技术工人及生产技术管理干部查阅使用，也可作为高等院校和中等专业学校电子类专业的教学参考书。

《手册》是在总结我国电子工业三十多年来生产技术实践经验的基础上，适当参阅了国外有关技术资料中对我国适用的电子生产技术编写而成的。对于一些即将淘汰与不宜继续采用的现行生产技术，一般不予编入；对那些国内外新近出现的，虽尚未经实践反复验证，但具有方向性的新技术，则在有关篇的“今后展望”中予以介绍。

《手册》力求突出电子工业生产技术的特点，原则上不编入与其他手册相重复的内容。但是，鉴于现代电子工业属高技术密集型工业，涉及的技术门类多，除与电子、机械、化工、冶金等基础科学有密切关系外，还涉及许多边缘科学。为便于查阅，也适当地收集了一些散见于其他手册中的共性资料。

在《手册》的编写过程中，结合我国电子工业的实际情况，认真贯彻了1984年国务院颁发的《关于在我国统一实行法定计量单位的命令》和《全面推行我国法定计量单位的意见》。

由于电子产品发展很快，更新换代频繁，各种生产技术进步迅速，第一次编写生产技术性的手册缺少经验，初版会有许多不足之处。为了使《手册》在我国电子工业的发展中能够不断地起到促进和指导作用，希望读者在使用《手册》过程中，如发现谬误或对《手册》的内容有新的建议，请及时与《手册》总编辑部（山西省太原市第115信箱）联系。今后将根据各篇的技术发展情况，及时修订或出版续篇。在适当时间，将全部重新编写出版。

《手册》的编写和出版工作，得到了中央各有关部、委、各省（市）电子工业领导部门及有关厂、所、院、校的大力支持。参加编写、审校和讨论的各方面的专家、教授、科技人员近千人。谨向这些单位与有关人员致以谢意。

《手册》总编辑委员会
一九八六年八月二十五日

总 编 辑 委 员 会

主 任 委 员

孙俊人

副 主 任 委 员

(按姓氏笔划为序)

边洪 陆崇真 周文盛 童志鸣 谢高觉 蒋葆增

委 员

(按姓氏笔划为序)

厉声树 刘联宝 陈力为 陈克恭 张立鼎

杨臣华 沈金宝 武尔桢 周生瑜 林金庭

郭文昭 郭桂庭 哀行健 戴昌鼎

总 编 辑 部

主 任

孙 凤 阁

成 员

(按姓氏笔划为序)

李桂馨 赵全喜 虞苏玮

前　　言

半导体与集成电路卷是电子工业生产技术手册的第三卷，这一卷又分为《半导体材料》、《硅器件与集成电路》、《化合物半导体器件》三篇（第6～8分册）。

半导体器件与集成电路在现代电子工业中占有极其重要的地位，一个国家的电子工业是否先进，在一定意义上决定于其半导体与集成电路工业是否先进，发达国家竞相建设“硅谷”就在于此。

半导体器件与集成电路工业依赖于材料制备、先进的设计、现代化的装备和精细的加工工艺。进入八十年代初，集成电路已向超大规模、集成系统、多层次集成和砷化镓集成电路发展；硅集成电路生产工艺的特点是晶片尺寸大（Φ150～200mm）、光刻线条细（1μm左右）、采用干法工艺和计算机辅助生产。先进的生产技术使得集成电路价格越来越低，整机性能越来越高，电子产品更新换代越来越快。所以生产工艺技术是进行半导体和集成电路大生产的前提，世界性的攀比竞争的焦点也在于此。

半导体与集成电路这一卷汇集了通用生产技术和工艺数据，其目的是促进我国半导体和集成电路工艺技术的提高。由于富集了大量常用的数据和资料，我们希望从事半导体生产、教学和研究的工程师、科学家、教师、管理干部和具有中专以上文化水平的人员从中能得到裨益。

《半导体材料》为本卷的第1篇，共分12章，主要介绍硅和砷化镓半导体材料的制备工艺，参数测试，完整性分析以及质量控制等。同时对其他常用Ⅲ-V和Ⅳ-VI族半导体也进行了一定的论述。随着化合物半导体器件的发展，砷化镓等化合物材料的制备工艺也会有很大的发展。

《硅器件与集成电路》为第2篇，共20章，重点介绍硅集成电路工艺，特别是MOS和双极型集成电路的通用工艺，包括计算机辅助制版、氧化、扩散、CVD、离子注入、光刻、隔离技术、芯片分析、封装和可靠性等等。这些工艺技术对分立器件同样是适用的。虽然硅工艺已很成熟，但由于硅集成电路正向微米以下工艺和多层次集成发展，就要求不断地采用新工艺。

《化合物半导体器件》为第3篇，共分16章，以GaAs半导体器件工艺为主，着重汇集了微波和光电器件方面的工艺方法和有关数据。本篇着重于Ⅲ-V族材料外延、亚微米光刻、离子注入、介质膜生长、有代表性的微波器件和光电器件的典型工艺，以及可靠性等。由于Ⅲ-V族半导体器件，尤其是GaAs集成电路，正处于重要发展阶段，所以这方面的资料和数据介绍得比较多。

参加本卷编审的研究所、高等学校和工厂近30家，共180多名科学家和工程师。其中无锡微电子研究中心（含永川微电子研究所）、天津电子材料研究所、河北半导体研究所、南京固体器件研究所（现南京电子器件研究所）、中国科学院上海冶金研究所、水川光电技术研究所、骊山微电子公司、辽宁集成电路研究所、北京东光电子厂、北京电子管厂、江南无线电器材厂、南京半导体器件总厂、上海无线电五厂和十九厂、北京半导体器件研究所、北京无线电二厂、清华大学、北京大学、复旦大学、天津大学、成都电

讯工程学院、西安交通大学、南京工学院等单位承担了主要的编写和审校工作，中国电子器件工业总公司和许多单位领导给予了重要的支持，本卷编委会致以衷心的感谢！

半导体和集成电路的生产工艺的发展日新月异，由于编写水平所限，《手册》中错误和不足之处，欢迎读者给予批评指正。

半导体与集成电路

卷编辑委员会

卷编辑委员会

主任委员

武尔桢 林金庭

副主任委员

(按姓氏笔划为序)

邓先灿 车运洪 许居衍 宋秉治 俞忠钰

委员

(按姓氏笔划为序)

王宗绪 庄同曾 许康 刘清太 陈中佛

吴远庆 李克诚 李集生 汪炳南 郑崇伟

张仁君 郭同生 郭维廉 黄汉祥 常振华

蒋伏君

卷编辑部

主任

王英

副主任

徐稼迟

成员

(按姓氏笔划为序)

王宗绪 宋马成 陈中佛 沈能珏

学术秘书：徐稼迟 王英

责任编辑

王晓光

目 录

第 1 篇

第 1 章 半导体材料的物理和化学性质

1.1 晶格结构	3
1.1.1 晶格结构的周期性、晶胞	3
1.1.2 晶列、晶面和密勒指数	3
1.1.3 密堆集、配位数	4
1.1.4 主要半导体的晶格结构	7
1.1.5 晶格常数	10
1.2 能带和能级	12
1.2.1 布洛赫定理和布里渊区	12
1.2.2 主要半导体的能带结构	12
1.2.3 能带边及其参数	25
1.2.4 半导体中的杂质能级	30
1.3 物理性质和常数	35
1.3.1 半导体的物理性质与键特性 的关系	35
1.3.2 半导体材料的机械和热学性质	36
1.3.3 半导体材料的电学性质	42
1.3.4 半导体的光学常数	47
1.4 物化特性	52
1.4.1 杂质分离效应	52
1.4.2 相平衡和相图	57
1.4.3 半导体材料的热力学数据	59
1.5 材料的化学性质	71
1.5.1 硅的主要化学性质	71
1.5.2 锗的主要化学性质	72
1.5.3 碳化硅的主要化学性质	72
1.5.4 硼化镁的主要化学性质	73
1.5.5 磷化铟的主要化学性质	73
参考资料	73

第 2 章 元素半导体材料的制备

2.1 多晶硅制备工艺	76
2.1.1 工艺流程	76
2.1.2 工业炉的制备	76
2.1.3 SiHCl ₄ 的合成	77
2.1.4 SiHCl ₄ 的提纯	79
2.1.5 SiHCl ₄ 氢还原	80

2.2 直拉法制备硅单晶工艺	82
2.2.1 结晶原理	82
2.2.2 拉晶设备(单晶炉)	84
2.2.3 原辅材料	87
2.2.4 热场(或温场)	90
2.2.5 拉晶工艺	90
2.2.6 质量控制	109
2.3 悬浮区熔法制备硅单晶工艺	111
2.3.1 区熔原理	111
2.3.2 区熔设备	113
2.3.3 区熔工艺	116
2.3.4 质量控制	119
2.3.5 悬浮区熔法的其他形态和应用	120
2.4 掺杂工艺	122
2.4.1 掺杂原理	122
2.4.2 直拉硅单晶的掺杂方法	122
2.4.3 区熔硅单晶的掺杂方法	128
2.4.4 锗单晶的掺杂计算	132
2.5 非晶硅制备工艺	133
2.5.1 基本特性	133
2.5.2 生长原理	134
2.5.3 非晶硅薄膜的制备方法	136
2.5.4 非晶硅掺杂及pn结制备工艺	144
2.5.5 有机硅玻璃	146
2.6 储和箱	150
2.6.1 锗	150
2.6.2 硅	154
参考资料	155

第 3 篇 连片加工工艺

3.1 晶体热处理	159
3.1.1 作用	159
3.1.2 条件	159
3.2 晶锭加工	160
3.2.1 晶锭截断	160
3.2.2 晶锭研磨	160

3.3 定向切割	163	4.3.1 SOS外延	208
3.3.1 原理	163	4.3.2 液相外延	211
3.3.2 设备	163	4.3.3 固相外延	214
3.3.3 刀片	165	4.4 对外延片的质量要求和测量	217
3.3.4 精结剂	166	4.4.1 对外延片的质量要求	217
3.3.5 冷却液	167	4.4.2 外延层测量	218
3.3.6 切割过程	167	参考资料	219
3.3.7 质量控制	167		
3.3.8 镍和化合物半导体材料的切割	168		
3.4 硅片研磨	168		
3.4.1 表面研磨	168		
3.4.2 边缘研磨	171		
3.4.3 化学减薄	172		
3.5 硅片抛光	172		
3.5.1 作用	172		
3.5.2 抛光种类	173		
3.5.3 二氧化硅抛光原理	173		
3.5.4 设备	174		
3.5.5 材料	174		
3.5.6 抛光工艺过程	178		
3.5.7 质量控制	179		
3.5.8 化合物半导体晶片的抛光工艺	179		
3.6 抛光硅片的清洗和超净包装	181		
3.6.1 沾污的来源和种类	181		
3.6.2 清洁剂	181		
3.6.3 清洗条件	182		
3.6.4 清洗程序	182		
3.6.5 表面质量检测	184		
3.6.6 超净包装	184		
参考资料	184		
第4章 硅外延工艺			
4.1 外延工艺分类	185	5.1 GaAs 水平单晶制备工艺	220
4.1.1 按结构分类	185	5.1.1 水平法单晶生长工艺	220
4.1.2 按外延层厚度和电阻率分类	185	5.1.2 摻杂无位错单晶生长	223
4.1.3 按生长方法分类	186	5.1.3 半绝缘GaAs单晶生长	225
4.2 气相外延	186	5.2 GaAs直拉单晶制备工艺	227
4.2.1 基本原理	186	5.2.1 低压合成的LEC法(LP-LEC法)	227
4.2.2 外延生长	194	5.2.2 高压原位合成的液封直拉法	229
4.2.3 与质量有关的因素	199	(HP-LEC法)	229
4.2.4 工艺改进	204	5.2.3 低阻GaAs单晶制备	230
4.2.5 几种特殊外延层生长工艺	206	5.2.4 半绝缘GaAs单晶制备和质量检验	230
4.3 其它硅外延工艺	208	5.2.5 影响单晶质量的因素及其	
		控制	232
		5.2.6 制备GaAs单晶的各种方法的比较	234
		5.3 GaP和InP单晶制备工艺	235
		5.3.1 GaP单晶制备	235
		5.3.2 InP 单晶制备	237
		5.4 其它Ⅱ-V族化合物半导体	
		制备工艺	243
		5.4.1 GaSb单晶制备工艺	243
		5.4.2 InSb 单晶制备工艺	247
		5.4.3 InAs单晶制备工艺	250
		5.4.4 Ga _{1-x} In _x As单晶制备工艺	253
		5.4.5 四元合金的制备	255
		5.5 Ⅱ-VI族化合物单晶制备工	
		艺	257
		5.5.1 Hg _{1-x} Cd _x Te 单晶制备	257
		5.5.2 其它Ⅱ-VI族化合物半导体单	
		晶的制备	265
		5.6 IV-VI族化合物单晶制备工	
		艺	267
		5.6.1 铅-硫族化合物的制备	267

5.6.2	IV-VI族三元系晶体的制备	267	6.5.2	衬底的选择与制备	358
5.7	化合物单晶质量要求	278	6.5.3	HgCdTe气相外延生长	359
5.7.1	GaAs单晶质量要求	276	6.5.4	滑块式液相外延	362
5.7.2	InP单晶质量要求	280	6.5.5	分子束外延(MBE)	365
5.7.3	GaP单晶质量要求	280	6.6	IV-VI族化合物PbSnTe外 延	368
5.7.4	CdTe单晶质量要求	281	6.6.1	开管气相外延	366
5.7.5	III _x -Cd _{1-x} Te晶体质量要求	281	6.6.2	液相外延	367
5.7.6	Pb _{1-x} Sn _x Te晶体质量要求	281	6.7	化合物外延质量要求	369
参考资料		283	6.7.1	微波器件用GaAs外延片	370
第6章 化合物半导体外延			6.7.2	光电器件用GaAs,GaP外延片	371
6.1	II-V族化合物气相外延	284	参考资料		373
6.1.1	工艺基本原理	284	第7章 缺陷与杂质		
6.1.2	外延装置与系统	287	7.1	基本缺陷	375
6.1.3	外延工艺	289	7.1.1	点缺陷	375
6.1.4	GaAs外延	296	7.1.2	线缺陷——位错	383
6.1.5	InP外延	298	7.1.3	面缺陷	387
6.1.6	多元II-V族化合物外延	299	7.1.4	体缺陷	391
6.2	II-V族化合物液相外延	300	7.2	微缺陷	392
6.2.1	工艺基本原理	300	7.2.1	生长微缺陷	392
6.2.2	外延装置与系统	306	7.2.2	热诱发微缺陷	398
6.2.3	外延工艺	308	7.2.3	雾缺陷	402
6.2.4	GaAs, InP外延	314	7.3	辐射损伤缺陷	403
6.2.5	多元化合物 GaAlAs, GaInAs, Ga- InAsP 外延生长	316	7.3.1	辐射损伤	404
6.3	金属有机化学气相沉积法	324	7.3.2	电子辐照	405
6.3.1	工艺基本原理	325	7.3.3	离子辐照损伤	408
6.3.2	外延装置与系统	326	7.3.4	中子辐照损伤	408
6.3.3	外延工艺	328	7.4	硅中的杂质	408
6.3.4	GaAs 及有关化合物外延	329	7.4.1	硅中的氧	408
6.3.5	InP 及有关化合物外延	334	7.4.2	硅中的碳	413
6.3.6	工艺中的注意事项	338	7.4.3	硅中的氮	415
6.4	分子束外延	338	7.4.4	硅中的金属杂质	416
6.4.1	工艺基本原理	339	7.5	化合物半导体中杂质	417
6.4.2	外延装置与系统	340	7.5.1	砷化镓中的杂质	417
6.4.3	外延工艺	344	7.5.2	磷化镓中的杂质	419
6.4.4	GaAs 外延	348	7.5.3	磷化铟中的杂质	419
6.4.5	多元II-V族化合物异质结外延	349	7.5.4	其他化合物中的杂质	420
6.4.6	选择分子束外延	356	7.6	缺陷、杂质的影响、控制 和利用	420
6.5	II-VI族化合物HgCdTe外 延	357			
6.5.1	HgCdTe外延方法	357			

7.6.1 缺陷、杂质的影响.....	420	8.7.2 吸收光谱法.....	494
7.6.2 缺陷的挖制和利用.....	422	8.7.3 光声光谱法.....	495
参考资料.....	427	8.7.4 表面光电压谱法.....	496
第8章 半导体电学参数测量		8.8 能级参数.....	498
8.1 导电型号.....	429	8.8.1 光吸收法.....	497
8.1.1 热探针法.....	429	8.8.2 低能级瞬态谱(DLTS)法.....	498
8.1.2 冷探针法.....	430	8.8.3 光电容法.....	503
8.1.3 整流法.....	431	8.8.4 光电流瞬态谱(PIITS)法.....	508
8.1.4 霍尔效应法.....	432	8.8.5 定值杂质光电导法.....	508
8.2 电阻率.....	433	8.8.6 光致发光法.....	510
8.2.1 两探针法.....	433	8.9 附录.....	522
8.2.2 四探针法.....	435	参考资料.....	522
8.2.3 扩展电阻法.....	438	第9章 半导体材料晶向、晶体缺陷、光学常数和几何尺寸的测量	
8.2.4 范德堡法.....	444	9.1 晶向的测定.....	525
8.2.5 满流法.....	448	9.1.1 光栅法.....	525
8.2.6 光电压法.....	449	9.1.2 单色X射线法.....	527
8.3 载流子浓度.....	451	9.1.3 解理法.....	528
8.3.1 三探针击穿电压法.....	452	9.1.4 从晶体外形和腐蚀坑判别晶向.....	528
8.3.2 微分电容法.....	454	9.2 光学常数的测定.....	530
8.3.3 二次谐波法.....	456	9.2.1 测量原理.....	530
8.3.4 红外等离子反射光谱法.....	467	9.2.2 测量仪器.....	532
8.3.5 红外吸收法.....	459	9.2.3 样品制备.....	532
8.4 迁移率.....	460	9.2.4 测量步骤.....	533
8.4.1 漂移迁移率测量.....	461	9.2.5 使单叶红外光谱仪测定透射率 和反射率.....	537
8.4.2 电导迁移率.....	464	9.3 腐蚀金相法观测晶体中的 缺陷.....	539
8.4.3 霍尔迁移率.....	464	9.3.1 测量原理.....	539
8.4.4 磁阻迁移率.....	469	9.3.2 测量仪器.....	540
8.5 补偿度.....	471	9.3.3 样品制备.....	540
8.5.1 载流子浓度与温度关系分析法.....	472	9.3.4 缺陷观测.....	544
8.5.2 迁移率分析法.....	476	9.4 厚度测量.....	544
8.5.3 经验曲线.....	478	9.4.1 晶片厚度测量.....	544
8.6 载流子寿命.....	480	9.4.2 外延层厚度的测量.....	546
8.6.1 直流光电导衰退法.....	481	9.5 电容微感法测量晶片的翘 曲度.....	548
8.6.2 高频光电导衰退法.....	483	9.5.1 测量原理.....	548
8.6.3 微波光电导衰退法.....	484	9.5.2 测量仪器.....	549
8.6.4 表面光电压法.....	484	9.5.3 样品制备.....	549
8.6.5 光电流法.....	487		
8.6.6 电子束感应电流法.....	488		
8.6.7 MOS电容量(测量耗尽的产生 寿命和表面产生速度).....	490		
8.7 禁带宽度.....	493		
8.7.1 霍尔效应或电阻率法.....	493		

9.5.4 测量步骤.....	549	微 术	602
9.6 光干涉法测量晶片的平整度	549	10.6.1 N-DIC 法原理.....	602
9.6.1 测量原理.....	549	10.6.2 N-DIC 法在半导体缺陷观测 中的应用	605
9.6.2 测量仪器.....	560	10.7 光电子能谱分析法	608
9.6.3 样品制备.....	550	10.7.1 原理简述	608
9.6.4 测量步骤.....	560	10.7.2 分析技术	609
9.7 硅片初磨损伤层的测定	561	10.7.3 光电子能谱分析在半导体材料中 的应用	611
9.7.1 测量原理.....	561	10.8 奥格能谱(AES)分析法	619
9.7.2 测量装置和步骤	562	10.8.1 奥格能谱简述	619
9.7.3 计算	562	10.8.2 分析技术	621
9.8 抛光硅片边缘轮廓的测量	563	10.8.3 奥格能谱分析在半导体材料中 的应用	623
9.8.1 测量原理	563	参考资料	625
9.8.2 测量装置	563	第11章 半导体材料的成份分析	
9.8.3 样品制备	564	11.1 主要分析方法及其比较	626
9.8.4 测量步骤	564	11.2 发射光谱分析法(AES)	626
9.9 附录 晶体缺陷图	564	11.2.1 原理和仪器	626
参考资料	568	11.2.2 方法与条件	628
第10章 结构及表面分析		11.2.3 硅及其化合物的分析	630
10.1 概述	559	11.2.4 硅化镓及其原材料的分析	632
10.2 X射线衍射形貌法	560	11.2.5 磷化镓及其原材料的分析	634
10.2.1 衍射形貌原理简述	560	11.2.6 其它半导体原材料的分析	635
10.2.2 实验技术	560	11.3 红外吸收光谱分析(IR)	636
10.2.3 在半导体材料分析中的应用	570	11.3.1 原理和仪器	636
10.3 扫描电子显微分析法	576	11.3.2 红外吸收法测定硅中氧的含量	636
10.3.1 结构及原理简述	576	11.3.3 红外吸收法测定硅中碳的含 量	641
10.3.2 二次电子像及其应用	577	11.3.4 低温红外吸收法测定硅中硼 含量	642
10.3.3 背散射电子像及其应用	578	11.4 原子吸收光谱分析(AAS)	643
10.3.4 电子束感生电势像及其应用	579	11.4.1 原理和仪器	643
10.3.5 钨极发光及其应用	580	11.4.2 测定条件及检测限	644
10.3.6 特征X射线及其应用	581	11.4.3 干扰及其消除	645
10.3.7 电子通道花样及其应用	584	11.4.4 应用	646
10.4 透射电子显微分析法	585	11.5 光致发光分析(PL)	648
10.4.1 原理简述	585	11.5.1 原理	648
10.4.2 分析技术	586	11.5.2 测量装置	648
10.4.3 在半导体缺陷分析中的应用	592	11.5.3 分析方法	649
10.5 红外显微技术	599	11.5.4 应用	649
10.5.1 红外显微镜的原理和结构	599	11.6 火花源质谱分析(SSMS)	651
10.5.2 半导体材料的光谱特性及有效 工作通带	600		
10.5.3 红外显微技术的应用	601		
10.6 微分干涉衬度(N-DIC) 显			

11.6.1 原理和仪器	651	11.10.2 常用试剂的纯化方法	673
11.6.2 质谱线的种类和识别方法	652	11.10.3 气体纯化方法	674
11.6.3 半定量分析方法	653	附表11-1 化学元素的天然同位素的原子 量和丰度	675
11.6.4 定量分析方法	653	附表11-2 中子活化分析法的检测限和使用 的基本数据	678
11.6.5 应用	654	参考资料	681
11.7 二次离子质谱分析(SIMS)	655	第12章 半导体材料工艺的发展趋势	
11.7.1 原理和仪器	655	12.1 硅材料	682
11.7.2 分析方法	658	12.1.1 直拉硅生长新工艺	683
11.7.3 应用	660	12.1.2 区熔硅研究新工艺	684
11.8 X射线荧光光谱分析 (XRF)	662	12.1.3 硅外延材料动向	684
11.8.1 原理和仪器	662	12.1.4 硅材料的物性研究	685
11.8.2 分析方法	663	12.2 Ⅲ-V族化合物材料	687
11.8.3 应用	664	12.2.1 Ⅲ-V族化合物体材料研究	687
11.9 活化分析(AA)	665	12.2.2 Ⅲ-V族化合物外延材料研究	690
11.9.1 原理和特点	665	12.3 Ⅳ-V及Ⅳ-VI族等化合物 材料	694
11.9.2 中子活化分析法(简称NAA)	666	12.4 非晶态半导体	694
11.9.3 带电粒子活化分析法	669	12.5 有机半导体	695
11.9.4 γ射线照射活化分析法	672	12.6 材料评价技术	695
11.10 半导体材料分析中主要 试剂的纯化	673	参考资料	696
11.10.1 超纯水的制取	673		

半 导 体 材 料

主 编

郭同生

副主编 沈能珏 杨模诗 徐稼迟

主 审

宋秉治

副主审 韩继鸿 彭瑞伍 华庆恒 李集生 李中南

第1章 半导体材料的物理和化学性质

薛恭时

1.1 晶格结构

1.1.1 晶格结构的周期性、晶胞

晶体可以看成由一个基本的结构单元（简称基元），沿三个不同方向，各按一定的距离周期地重复堆积而成。这种基元可以是一个原子或一个原子集团。为讨论它的周期性，每个基元都用一个点子来表示，这些点子所构成的格子称为布喇菲格子。

基元的内部结构可以用单胞来表示。单胞是以格点为顶点，以三个独立方向上的周期为边长所构成的平行六面体。体积最小的单胞称为原胞。一个原胞中只含有一个布喇菲格点。单胞的边长称为基矢量，原胞的边长称为原基矢量。

三维晶体中一共有十四种布喇菲格子，它们分属于七大晶系。图1-1中画出了这十四

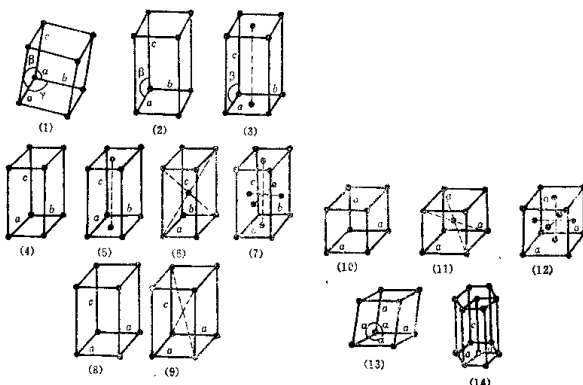


图1-1 十四种布喇菲格子

- (1)简单三斜; (2)简单单斜; (3)底心单斜; (4)简单正交; (5)底心正交; (6)体心正交; (7)面心正交;
(8)简单立方; (9)体心正方; (10)简单立方; (11)体心立方; (12)面心立方; (13)三角; (14)六角。

种布喇菲格子，它们的单胞基矢量和对称性列于表1-1中。

1.1.2 晶列、晶面和密勒指数

晶列的方向常用 (l, m, n) 来表示。 l, m 和 n 为三个互质的整数，它表示晶格矢量

表1-1 十四种布喇菲格子和惯用单胞

晶系	布喇菲格子	单胞基矢量	需指明的基矢量 长度和夹角	点群对称性
三斜晶系	简单三斜	$a \neq b \neq c$, $\alpha = \beta = \gamma$	a, b, c , α, β, γ	$C_{\bar{1}}$
单斜晶系	简单单斜 底心单斜	$a \neq b \neq c$, $\alpha = \gamma = 90^\circ \neq \beta$	a, b, c , β	C_{2h}
正交晶系	简单正交 底心正交 体心正交 面心正交	$a \neq b \neq c$, $\alpha = \beta = \gamma = 90^\circ$	a, b, c	D_{2h}
正方晶系(四角)	简单正方 体心正方	$a = b \neq c$, $\alpha = \beta = \gamma = 90^\circ$	a, c	D_{4h}
立方晶系	简单立方 体心立方 面心立方	$a = b = c$, $\alpha = \beta = \gamma = 90^\circ$	a	O_h
三角晶系	三角	$a = b = c$, $\alpha = \beta = \gamma < 120^\circ, \approx 90^\circ$	a , a	D_{3d}
六角晶系	六角	$a = b \neq c$, $\alpha = \beta = 90^\circ, \gamma = 120^\circ$	a, c	D_{6h}

($a+mb+nc$ 所指的方向, a 、 b 和 c 是单胞的基矢量。

晶面的方向常用(l, m, n)来表示, l, m 和 n 为三个互质的整数, 它表示晶面在三个坐标轴上的截距为 $a/l, b/m$ 和 c/n , (l, m, n)为晶面族的面指数, 通常也称为密勒指数。

彼此对称的晶面族是等效的。对于立方晶体的布喇菲格子, 如晶列族 $\langle 1\ 0\ 0 \rangle, \langle 0\ 1\ 0 \rangle, \langle 0\ 0\ 1 \rangle$ 就是彼此等效的。它们的集合用尖括号表示为 $\langle 1\ 0\ 0 \rangle$ 。彼此对称的晶面族是等效的。对于立方晶系的布喇菲格子, 如晶面族 $(1\ 1\ 1), (1\ \bar{1}\ \bar{1}), (\bar{1}\ 1\ \bar{1}), (\bar{1}\ \bar{1}\ 1)$ 就是等效的。它们的集合用大括号表示为 $\{1\ 1\ 1\}$ 。

对立方晶系来说, 如果晶列同晶面的指数相同, 则两者必定是垂直的。

如果一个晶面和晶列 $[u\ v\ w]$ 平行, 则称该平面属于晶轴 $[u\ v\ w]$ 。此时晶面指数 h, k, l 满足条件

$$hu + kv + lw = 0 \quad (1-1)$$

不同晶系的晶面夹角公式列于表1-2中, 表1-3中给出了计算平行晶面间的面间距的公式。表1-4中列出了立方晶系低指数晶面 $\{HKL\}$ 和 $\{hkl\}$ 之间的夹角。对于非立方晶系, 这些夹角值与原胞尺寸有关, 可用表1-2所列公式进行计算。

1.1.3 密堆积、配位数

当晶体由同一种原子构成时, 可以用大小相同的圆球代表原子, 把这些原子堆积起来模拟晶格结构。这样形成的最密集的堆积称为密堆积。

在晶格中, 一个原子周围的最近邻原子数称为配位数。配位数越大, 表示原子排列得越紧密。晶体中的最大配位数是12, 具有这种配位数的晶体有六角密积和立方密积两种。